

## بررسی کانی‌شناسی و ویژگی‌های رئولوژی بنتونیت‌های منطقه مومن آباد، پهنه بنتونیتی شرق ایران، به منظور کاربرد در صنعت حفاری

سحر طربی<sup>۱</sup>، سروش مدبری<sup>۲</sup>، محمد هاشم امامی<sup>۳</sup>، سید جمال شیخ ذکریایی<sup>۱</sup>

۱- گروه علوم زمین، دانشگاه آزاد اسلامی، واحد علوم و تحقیقات تهران، ایران.

۲- دانشکده زمین‌شناسی، پردیس علوم، دانشگاه تهران، ایران.

۳- گروه زمین‌شناسی، دانشگاه آزاد اسلامی، واحد اسلامشهر، ایران.

(دریافت مقاله: ۹۷/۱۰/۲۹، نسخه نهایی: ۹۸/۳/۲۵)

چکیده: منطقه معدنی مؤمن آباد بخشی از پهنه بنتونیتی شرق ایران است که در واحدهای آتشفسانی اوسن - الیگومن تشکیل شده است. اسمکتیت و کریستوبالیت به عنوان فاز کانیایی اصلی و پلازیوکلاز، فلدسپار قلیایی، پاراگونیت، زئولیت (هولاندیت و کلینوپیتولیت)، میکا-ایلیت و کوارتز نیز به عنوان فازهای فرعی در بنتونیت‌ها حضور دارند. تصویربرداری الکترونی از ذره‌های صفحه‌ای بنتونیت، انبوه‌هایی را با ظاهری لخته شده و به صورت کروی و زاویه‌دار با بافت دانه‌ذرتی نشان می‌دهند. طیف‌سنجی پراکنش انرژی پرتو ایکس (EDX) نشان می‌دهد که بنتونیت‌ها از نوع مونتموریلوبونیت سدیم هستند. نتایج آزمون‌های رئولوژی نشان می‌دهد که گرانروی ظاهری، گرانروی ناکشسان، نقطه تسلیم و استحکام ژله‌ای در نمونه‌های بنتونیتی ساده با وزن  $30/4$  گرم بیشتر از نمونه‌های با وزن  $10/8$  و  $22/4$  گرم است و نمونه‌های B07 و B04 با استاندارد API همخوانی نداشته، اما نمونه B02 با ویژگی‌های رئولوژی بهتر، قابلیت استفاده در صنعت حفاری را دارد. ویژگی‌های رئولوژی و استحکام ژله‌ای در نمونه‌های فعال شده بهتر از نمونه‌های ساده است و سیال‌های دربردارنده کربوکسی‌متیل‌سلولز به علت ویژگی یونی بالای ذرات نسبت به دیگر پلیمرها، بهترین افزایش دهنده ویژگی‌های رئولوژی هستند (نمونه‌های B02 و B04). اما نمونه B07 با استفاده از همه افزودنی‌ها با استاندارد API همخوانی ندارد و نمی‌توان از آن در صنعت حفاری استفاده کرد. بنتونیتی، از نظر ویژگی‌های رئولوژی مانند گرانروی ظاهری، گرانروی ناکشسان، نقطه تسلیم و استحکام ژله‌ای در  $10$  ثانیه و  $10$  دقیقه از میان سه نمونه ساده B02 با وزن  $30/4$  گرم به ترتیب با  $8/5$ ،  $7$ ،  $5$  و  $5$  و همچنین با حضور پلیمر کربوکسی‌متیل‌سلولز به ترتیب با  $25$ ،  $25$ ،  $9$ ،  $32$ ،  $14$  و  $11$  بهترین ویژگی‌ها را بر اساس استاندارد API برای کاربرد در صنعت حفاری دارند.

واژه‌های کلیدی: گرانروی؛ حفاری؛ بنتونیت؛ مومن آباد؛ شرق ایران.

### مقدمه

بنتونیت‌ها به طور عمده از کانی‌های گروه اسمکتیت تشکیل شده‌اند. اسمکتیت شامل کاتیون‌های تبادل پذیر مانند آلومنینیم، سدیم، کلسیم، منیزیم، آهن و لیتیم در میان لایه‌های سیلیکات به همراه مولکول‌های آب است. کانی‌های اصلی این گروه مونتموریلوبونیت سدیم، مونتموریلوبونیت کلسیم،

مونتموریلوبونیت منیزیم (ساپونیت)، مونتموریلوبونیت آهن (نانترونیت)، مونتموریلوبونیت لیتیم (هکتوریت) و مونتموریلوبونیت آلومینیم (بایدلیت) هستند. مونتموریلوبونیت کلسیم فراوان‌ترین کانی گروه اسمکتیت است و در بسیاری از نقاط جهان یافت می‌شود. مونتموریلوبونیت سدیم در مقایسه با مونتموریلوبونیت کلسیم به نسبت نادر است. مونتموریلوبونیت

پلیمرهای مصنوعی هستند که به عنوان افزایش‌دهنده گرانبروی استفاده می‌شوند. پلیمر چند آنیونی سلوزل در سه نوع متفاوت وجود دارد. با گرانبروی بالا، گرانبروی متوسط و گرانبروی پایین که گرانبروی‌های متفاوتی به سیال می‌دهند که بر اساس شرایط عملیات حفاری استفاده می‌شوند [۱۳، ۱۴]. مواد دیگری چون سود سوزآوار (Soda ash) و کربنات سدیم (Caustic Soda) نیز به گل حفاری و بنتونیت‌ها اضافه می‌شوند.

بررسی‌های پیشین بر نهشته‌های بنتونیتی شرق ایران به ویژه خراسان جنوبی، بیرونی، فردوس، سراستان و منطقه سریشه و مومن آباد نشان داده است که این نهشته‌ها در نتیجه دگرسانی درونزدی [۱۵-۱۸] و دگرسانی درونزدی به همراه دگرسانی گرمابی [۱۹-۲۱] از سنگ‌های اسیدی تا حد واسط در شرایط محیطی لاغون مانند [۱۵، ۱۶] و دریاچه‌ای لاغونی [۲۰، ۲۱] تشکیل شده‌اند. گروهی از پژوهشگران به بررسی کاربرد بنتونیت‌های مناطق فردوس و سراستان در صنعت دارویی [۱۷] و بررسی نقش بنتونیت‌های کانسار مومن آباد در صنعت گندله سازی [۲۱، ۲۲] و همچنین ریخته‌گری [۲۳] پرداخته‌اند. از آنجاکه تا کنون کانی‌شناسی و کاربردهای صنعتی بنتونیت‌های ایران و به ویژه منطقه مؤمن‌آباد در صنعت حفاری به صورت خام و با استفاده از پلیمرها بررسی نشده است، به منظور مطالعه بنتونیت‌های این منطقه در صنعت حفاری، بررسی‌های کانی‌شناسی و آزمون‌های رئولوژی با استفاده از پلیمرهای مختلف بر ۳ نمونه بنتونیت از سینه کار اصلی معدن انجام شد، تا بتواند در صنعت حفاری ایران کارگشا باشد.

#### زمین‌شناسی منطقه

کانسارهای بنتونیتی ایران در شش پهنه سمنان-تروود، البرز-آذربایجان، شرق ایران، ایران مرکزی، تفرش-تکاب و زاگرس پدید آمداند و در ارتباط با فعالیت‌های آتش‌نشانی نوزیستی هستند. بنتونیت‌های پهنه سمنان-تروود در شرق و شمال شرق سمنان تا شرق ترود رخمنون دارند. بنتونیت‌های پهنه البرز-آذربایجان، شامل کانسارهای منطقه دماوند، لواستان، آبیک، قزوین و اطراف زنجان هستند. بنتونیت پهنه شرق ایران در منطقه‌های تربت حیدریه، تربت جام، کاشمر، گناباد، بیرونی، سراستان و فردوس در دو پهنه قطعه لوت و پهنه زمین درز سیستان رخمنون دارند. این بنتونیت‌ها شامل کانسارهای درودگر در منطقه کاشمر و بردسکن، کانسار کوه سرخ زرین در منطقه اردکان، کانسار اسفهک در منطقه طبس و اسفهک،

سدیم نسبت به مونت موریلونیت کلسیم ویژگی‌های متفاوتی دارد که موجب کاربرد آن‌ها در صنایع مختلف می‌شود [۱]. بنتونیت‌ها را براساس ویژگی‌های فیزیکی (ظرفیت تورم) و کانی‌شناسی (کاتیون‌های اصلی) به دو گروه تقسیم می‌کنند [۲]: نوع سدیمی یا سدیم-کلسیمی مانند کانسارهای موجود در ایالت‌های وایومینگ و مونتنا در آمریکا [۳] که تورم پذیری بالا تا متوسط دارد و نوع کلسیمی مانند کانسارهای ایتالیا، شرق میانه، ترکیه، یونان و مصر [۴-۷] که تورم پذیری پایینی دارد.

کاربرد صنعتی انواع بنتونیت‌ها بر اساس ویژگی‌های یعنی تفاوت در قابلیت تورم‌پذیری و اختلاف در ژله‌ای شدن در محلول آبدار یعنی استحکام فیزیکی و مقاومت دمایی به طور خلاصه به شرح زیر است: ۱- بنتونیت کلسیمی در ماسه ریخته-گری، جاذب روغن و گریس، فیلتر کردن و تصفیه، خوارک دام و ۲- بنتونیت سدیمی در گل‌های حفاری، ماسه ریخته‌گری، گندله‌سازی، غذای دام و مهندسی عمران [۱] کاربرد دارند. بیشترین مصرف بنتونیت‌ها، در تولید گندله آهن، ریخته‌گری و حفاری است.

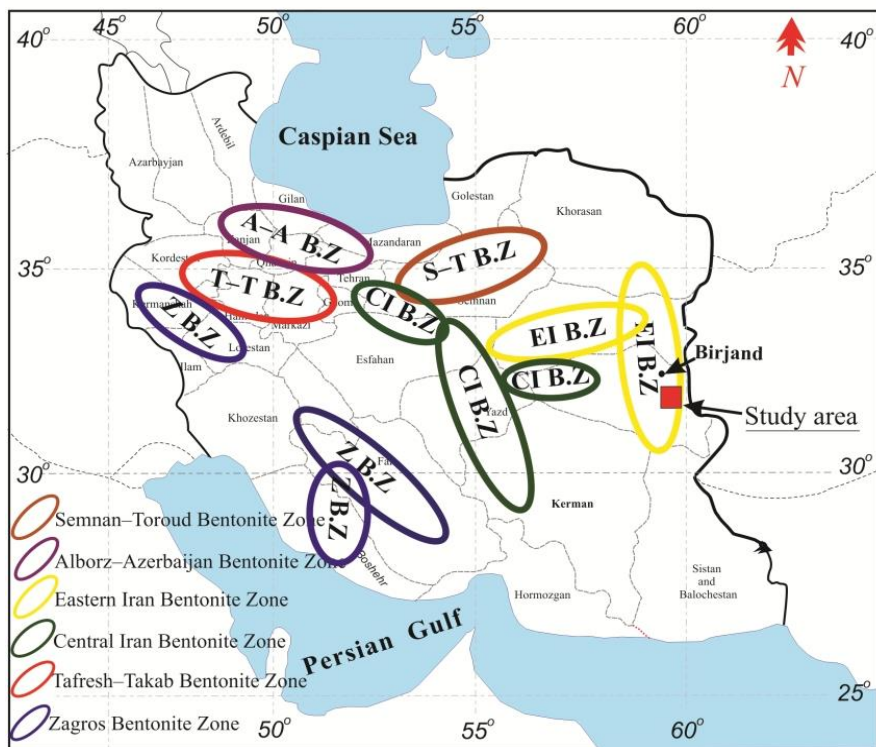
بنتونیت یکی از اجزای تشکیل دهنده بیشتر سیال‌های حفاری پایه آبی بوده [۸] و به عنوان یک ماده کارآمد، برای انجام عملیات حفاری نفت و مواد هیدروکربنی ضروری است [۹]. در مایعات حفاری، ویژگی‌هایی مانند گرانبروی ظاهری، گرانبروی ناکشسان، نقطه تسلیم و مقاومت ژل نقش مهمی در بهبود مایعات و عملیات حفاری ایفا می‌کنند [۱۰، ۱۱].

براساس این ویژگی‌ها و به منظورهای بسیاری چون بهبود ویژگی‌های مکانیکی و رئولوژی گل حفاری، بهبود ویژگی‌های فیلتر کیک، افزایش پایداری چاه، جلوگیری از تخریب سازند و افزایش چگالی، بر اساس استاندارد API مواد افزودنی به سیال پایه آبی اضافه می‌شود [۱۱، ۱۲]. مواد افزودنی به گل پایه آبی، با عنوان افزایش‌دهنده و کاهش‌دهنده گرانبروی هستند. بنتونیت‌ها به عنوان یک افزودنی رایج در سراسر جهان به منظور افزایش گرانبروی و کاهش هرزروی مایع در سازندها استفاده می‌شوند [۱۱]. پلیمرها از دیگر افزودنی‌های سیال‌های حفاری هستند که امروزه بخش زیادی از سیال‌های صنعت حفاری را تشکیل می‌دهند. پلیمرها شامل پلیمرهای طبیعی مانند نشاسته، پلیمرهای طبیعی اصلاح شده مانند چند آنیونی سولز (PACR) و کربوکسی متیل سلوزل (CMC) و انواع

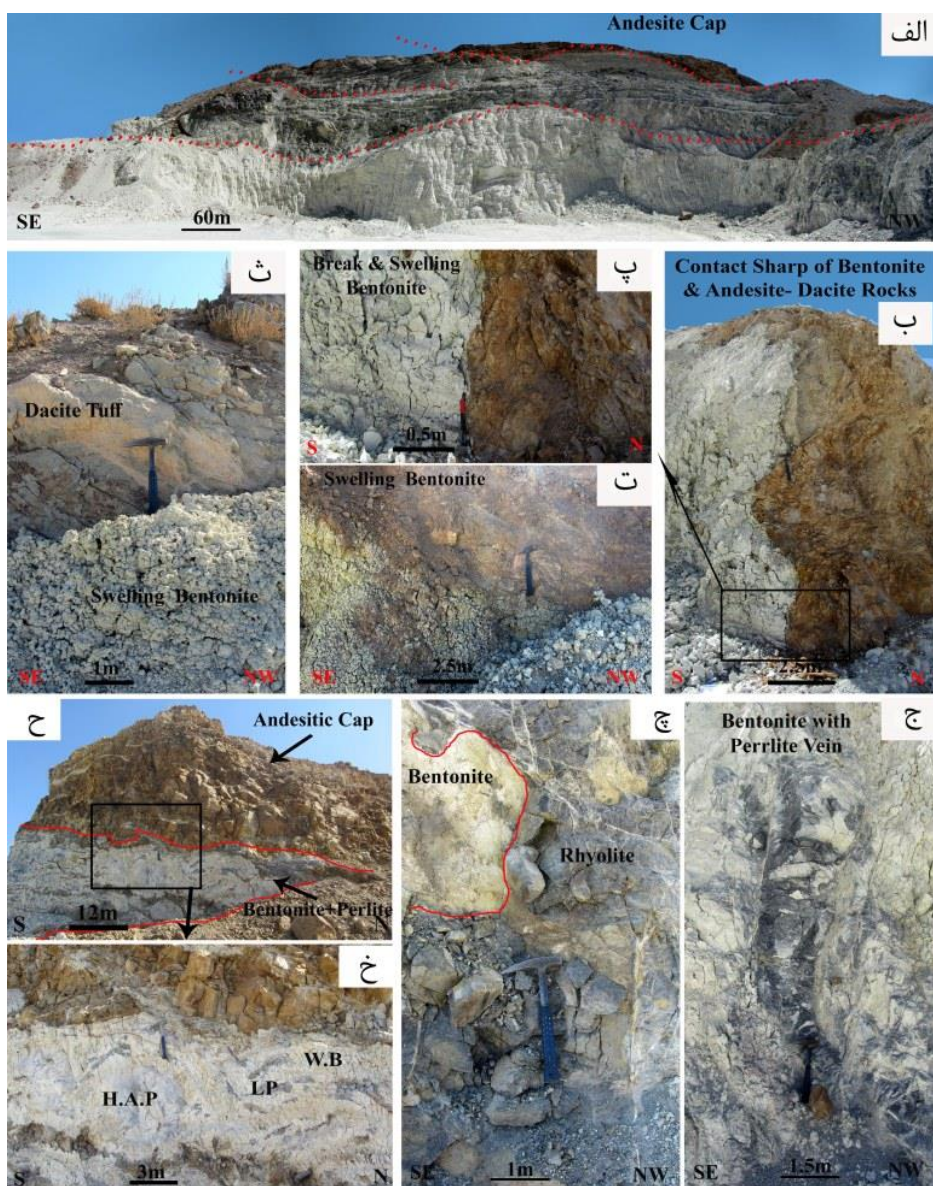
با دگرسانی شدید رخنمون دارد [۲۰]. این معدن در چهار لایه ریختاری به شرح زیر را نشان می‌دهد. در پایین‌ترین لایه، بنتونیت‌های لایه‌ای و رگه‌های پرلیتی و پرلیت تودهای (MP) دیده می‌شوند (شکل ۲ الف). بنتونیت‌ها و ویژگی‌های ظاهری خشک شده، انقباض یافته و شکسته شده را نشان می‌دهند (شکل‌های ۲ ب و پ). در لایه دوم، رخساره‌هایی از جنس داسیت با دگرسانی‌های پیشرفت‌هایی از نوع کربناتی‌شدن و رسی دیده می‌شوند (شکل‌های ۲ ت و ث). لایه سوم، شامل بنتونیت‌های سفید (WB) پیرامون گسل و بنتونیت‌های سبز روشن تا تیره (GB) در پی دگرسان شدن رویولیت‌های پرلیتی هستند (شکل‌های ۲ ج و چ). بنتونیت‌های سفید لایه چهارم به سختی از پرلیت‌ها با دگرسانی‌های شدید (HAP) قابل تفکیک هستند (شکل‌های ۲ ح و خ). پرلیت‌ها به سه شکل پرلیت‌های عدسی شکل (LP)، تودهای و رگه‌ای (VP) به صورت میان لایه‌ای بسیار نازک همراه با بنتونیت هستند. سنگ میزبان رویولیت پرلیتی در اثر دگرسانی‌هایی به صورت رگه‌های تبدیل شدن به بنتونیت هستند در میان پرلیت و بنتونیت‌ها، میانبارهایی از سنگ داسیت و رویداسیت دیده می‌شود. این لایه توسط کلاهک آندزیتی، پوشیده شده است.

کانسار بسطاق سرایان در منطقه فردوس و بسطاق و کانسار بنتونیت خوشاب در منطقه خراسان رضوی و شهرستان کاşmer هستند.

بنتونیت پهنه ایران مرکزی در دو افق رخنمون دارند: ۱- افق اصلی از منطقه زرین اردکان تا منطقه جنوب فردوس و ۲- افق بنتونیتی خور و بیابانک. بنتونیت پهنه تفرش-تکاب در مناطق تفرش، ساوه، آوج و جنوب زنجان تا تکاب دیده می‌شوند. بنتونیت پهنه زاگرس در مناطق مانیان در جهرم، سپیدان فارس، چقا کبود بین کرمانشاه و در بوشهر رخنمون دارند [۲۴] (شکل ۱). منطقه معدنی مؤمن آباد در ۱۵ کیلومتری شمال شرقی سربیشه در استان خراسان جنوبی و ۵۹° ۵۷/۳۰' ۴۳/۵۵" ۳۲° ۳۸" ۴۰' جنوب شرقی بیرجند در طول جغرافیایی' هستند در شمالی قرار دارد و از شرقی و عرض جغرافیایی' ۳۰' ۴۰" ۳۸" ۳۲° شمالي قرار دارد و از نظر موقعیت کانسارهای بنتونیتی ایران، بخشی از پهنه بنتونیتی شرق ایران است [۲۴] (شکل ۱). این منطقه بر اساس زمین‌شناسی و تقسیم‌بندی واحدهای ساختاری ایران [۲۵] و بررسی‌های انجام شده [۲۶، ۲۷] در پهنه زمین‌درز سیستان و برازجان در مرز پهنه زمین‌درز سیستان و قطعه لوت واقع است. معدن بنتونیت مؤمن آباد در واحدهای سنگی داسیت، رویولیت و آندزیت به صورت واحدهایی



شکل ۱ نقشه جایگاه پهنه‌های بنتونیتی ایران و منطقه مورد بررسی.



شکل ۲ الف) نمای کلی از بنتونیت لایه‌ای و پرلیت رگه‌ای و توده‌ای، ب-پ) بنتونیت خشک شده و شکسته شده، ت-ث) داسیت با دگرسانی‌های پیشرفت‌های از نوع کربناتی شدن و رسی، ج) حضور بنتونیت در سنگ میربان ریولیتی، ح) دگرسان شدن پرلیت با دگرسانی شدید و عدسی شکل به بنتونیت سفید و پوشش کلاهک آندزیتی. خ) نمایی نزدیک از تصویر ج.

آزمون‌های سیال شناسی شامل اندازه‌گیری گرانروی - ظاهري، گرانزوئنالكشن، نقطه تسليم و استحکام ژل بر نمونه‌های ساده در سه وزن مختلف  $10/8$ ،  $22/4$  و  $30/4$  گرم و نمونه‌های فعال شده با پلیمرهای کربوکسی متیل سلولز و چند آنیونی سلولز و کربنات سدیم در یک وزن  $22/4$  گرم انجام شده است. این آزمون‌ها برای نمونه‌های پودر شده در آزمایشگاه نفت، دانشگاه آزاد اسلامی واحد علوم تحقیقات تهران انجام شد. در نخستین مرحله، سوسپانسیون رس‌های بنتونیت خام به وسیله اضافه کردن  $10/8$ ،  $22/4$  و  $30/4$  گرم بنتونیت خشک به  $350$  میلی‌لیتر آب مقطر تهیه می‌شود. این مواد توسط

#### مواد و روش‌ها

به منظور بررسی‌های کانی‌شناسی و انجام آزمون‌های رئولوژی، ۳ نمونه بنتونیت B02، B04 و B07 از سینه‌کار اصلی معدن مومن آباد به وزن  $7-6$  کیلوگرم برداشت شد. نمونه‌ها توسط شرکت گوهربودر پارس به اندازه  $45$  میکرون پودر شد. نمونه‌ها برای پراش پرتو ایکس (XRD)، تصویربرداری الکترونی روبشی (SEM) و طیفسنجی پراش انرژی پرتو ایکس (EDX) به اداره کل تحقیقات و اکتشاف معدن، گروه تحلیل و تکنولوژی معدن در کشور ترکیه ارسال شدند.

رئولوژی اندازه‌گیری می‌شود. در این روابط، AV و PV بر حسب سانتی پوز (cp) و YP بر حسب پوند بر  $100 \text{ ft}^2$  (Ib/ $100\text{ft}^2$ ) است. واحد اندازه‌گیری مقاومت ژل نیز  $\text{Ib}/100\text{ft}^2$  است.

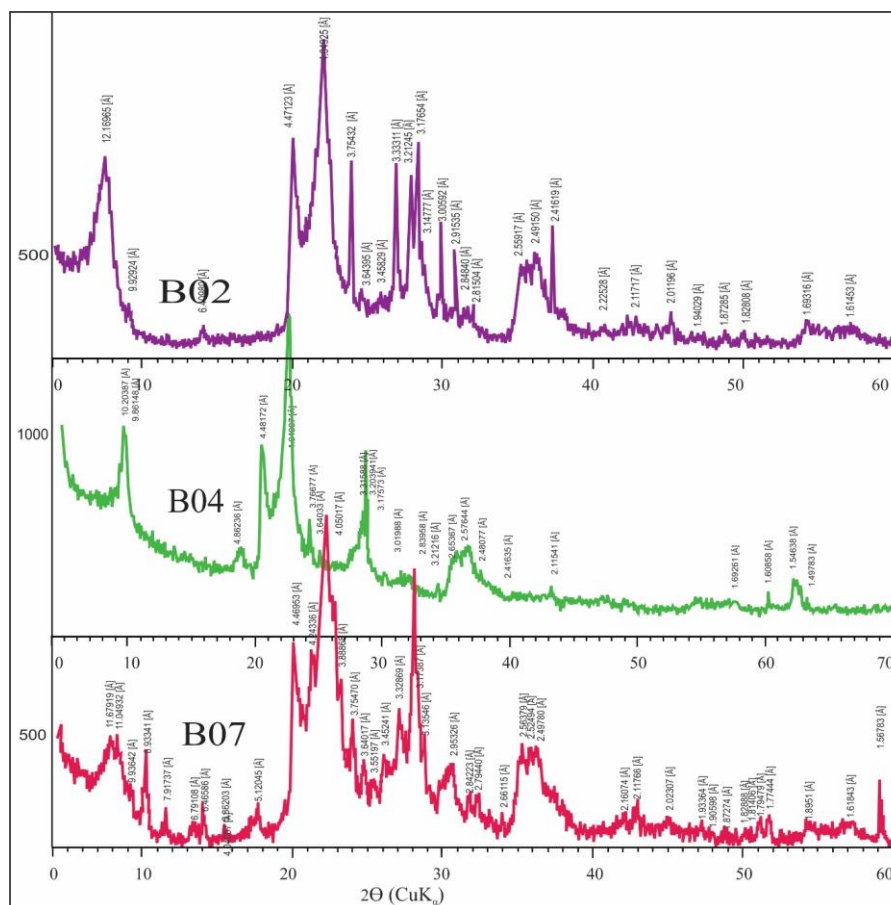
### نتایج پراش پرتو ایکس (XRD)

در نمونه‌های بنتونیت منطقه، اسمکتیت و کریستوبالیت به عنوان فاز کانیایی اصلی هستند (جدول ۱ و شکل ۳)، اما حضور اسمکتیت و کریستوبالیت می‌تواند با مقدارهای مختلف باشد. در نمونه‌های B02، اسمکتیت و مونتموریلونیت به عنوان اصلی‌ترین و فراوان‌ترین فاز و در نمونه‌های B04 و B07 کریستوبالیت به عنوان اصلی‌ترین فاز است.

دستگاه همزن مغناطیسی مدل Hamilton Beach حدود ۲ دقیقه هم زده می‌شود. در مرحله بعد، نمونه‌ها توسط موادی مانند کربنات سدیم، کربوکسی متیل سلوزل پلیمر چند آنیونی سلوزل فعال می‌شوند. این مواد به مقدار حدود ۳ درصد وزنی از وزن بنتونیت خشک به سوسپانسیون رس بنتونیتی اضافه می‌شود. جهت تعیین ویژگی‌های رئولوژی، از گرانزوی سنج دوار مدل 35 FANN استفاده شد. این دستگاه شامل سرعت‌های ۳، ۶، ۱۰۰، ۲۰۰، ۳۰۰ و ۶۰۰ دور در دقیقه است که افزون بر گرانزوی سیال حفاری، نقطه تسلیم و مقاومت ژل را نیز اندازه‌گیری می‌کند. بر اساس سرعت‌های یاد شده، زاویه انحراف عقربه دستگاه ( $\theta$ ) و روابط  $\text{AV} = 0.5 \times \theta 600$  و  $\text{YP} = \theta 300 - \theta 600$  و  $\text{PV} = \theta 600 - \theta 300$ ، ویژگی‌های

جدول ۱ نتایج برآمده از پراش پرتو ایکس (XRD) نمونه‌های بنتونیت در منطقه معدنی مؤمن آباد.

| نمونه | کانی‌های اصلی           | کانی‌های فرعی  |
|-------|-------------------------|--|
| B-02  | Smectite + Cristobalite | Plagioclase Feldspar + Quartz + Mica-Illite, di-Oct  |
| B-04  | Cristobalite            | Paragonite+ Plagioclase + Montmorillonite + Amorphous  |
| B-07  | Cristobalite + Smectite | Plagioclase Feldspar + Alkali Feldspar + Zeolite (Heulandite and/or Clinoptilolite) + Quartz + Mica-Illite |



شکل ۳ الگوهای XRD نمونه اولیه بنتونیت‌ها.

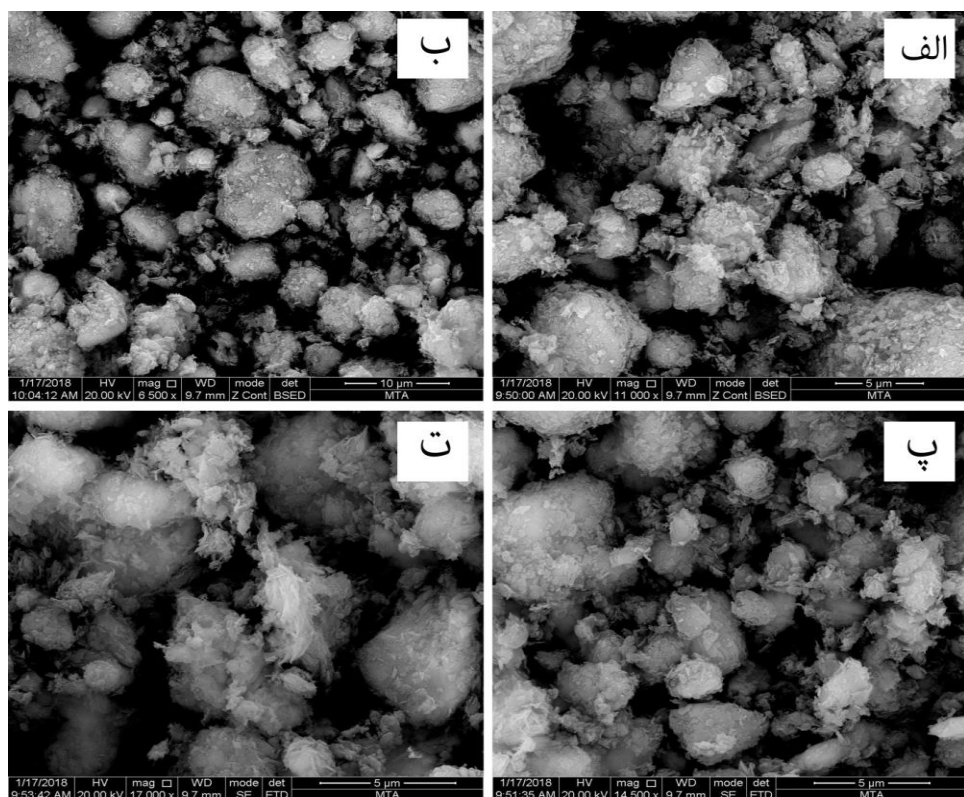
صفحه‌ای بنتونیت، انبووه‌هایی با ظاهری لخته شده می‌سازند و به صورت کروی و زاویدار دیده می‌شوند (شکل ۴) که بافت دانه ذرتی را نیز نشان می‌دهند (شکل ۴ پ). نسبت انبووه‌های کروی بیشتر از انبووه‌های زاویدار است. انبووه‌های زاویدار ذره‌های دووجهی اسمکتیت را تشکیل می‌دهند (شکل‌های ۴ الف تا ت). روی لخته‌های بنتونیتی، کریستوبالیت و ذرات کوارتزی دیده می‌شود که به صورت رورشده بر بنتونیت‌ها رشد کرده‌اند (شکل‌های ۴ ب تا ت).

نتایج EDX برای ۱۰ نقطه نشان می‌دهد که نسبت Al/Si تقریباً ۱/۳ است و مونتموریلونیت جزو اصلی بنتونیت‌هاست (Falode et al., 2008) و انبووه‌های بنتونیتی از نوع مونتموریلونیت‌های سدیم هستند که مقدار Al, Si, Fe, Mg, Ca و Na آنها متفاوت است. مقدار Na در ۱۰ نقطه تجزیه شده بر مونتموریلونیت‌های منطقه به ترتیب از ۰/۷۹ تا ۰/۶۱ و ۰/۰۶ هستند و نشان می‌دهد که بنتونیت‌ها منطقه از نوع مونتموریلونیت‌های سدیم هستند (جدول ۲).

فازهای فرعی کانی‌های بنتونیت‌ها، شامل پلاژیوکلاز فلدسپار، فلدسپار قلیایی، پاراگونیت، مونتموریلونیت، زئولیت بیشتر از نوع هلاندیت و کلینوپیتولیت، میکا، ایلیت و کوارتز هستند (جدول ۱) که در نمونه‌های مختلف متفاوت است. فاز فرعی پلاژکلاز فلدسپار و فلدسپار قلیایی در همه نمونه‌های بنتونیتی با درصدی‌های متفاوت و پاراگونیت در نمونه B04 حضور دارد. فازهای فرعی زئولیت از نوع هلاندیت و کلینوپیتولیت با درصدی‌های کم در نمونه‌های B07 و میکا-ایلیت و کوارتز در نمونه‌های B02 و B07 حضور دارند.

#### تصویربرداری الکترونی (SEM) و طیفسنجی پراش انرژی پرتو ایکس (EDS/EDX)

این آزمایش‌ها برای پودرهای بنتونیتی منطقه (B02-B04-) (B07) و بر ۱۰ نقطه انجام شد. تصویربرداری الکترونی برای هر سه نمونه نشان می‌دهد که پراکندگی اندازه دانه‌ها، ناهمگن و از ۱ تا  $10 \mu\text{m}$  متفاوت هستند (شکل ۴) و دانه‌ها، ترکیبی از کوارتز تا رس از نوع مونتموریلونیت سدیم دارند. ذره‌های



شکل ۴ تصاویر میکروسکوپ الکترونی روبشی با الکترون‌های پس پراکنده (BSE) از دانه‌های کوچک‌تر از  $10 \mu\text{m}$  (الف) لخته‌های کروی تا زاویدار با دووجهی‌های اسمکتیت و رورشده شدید کریستوبالیت با اندازه‌هایی کوچک‌تر از  $1 \mu\text{m}$  (ب)، لخته‌های کروی اسمکتیت‌ها با رورشده کریستوبالیت و بلور کریستوبالیت لپیسفر، (ت) لخته‌های کروی تا زاویدار اسمکتیت با بافت دانه ذرتی، (پ) دووجهی‌های اسمکتیت با رورشده کریستوبالیت و بلور کریستوبالیت با ریخت کروی با اندازه‌هایی کوچک‌تر از  $1 \mu\text{m}$ .

جدول ۲ نتایج EDX بر ۹ نقطه Na اسمکتیت برای نمونه‌های B02، B04 و B07

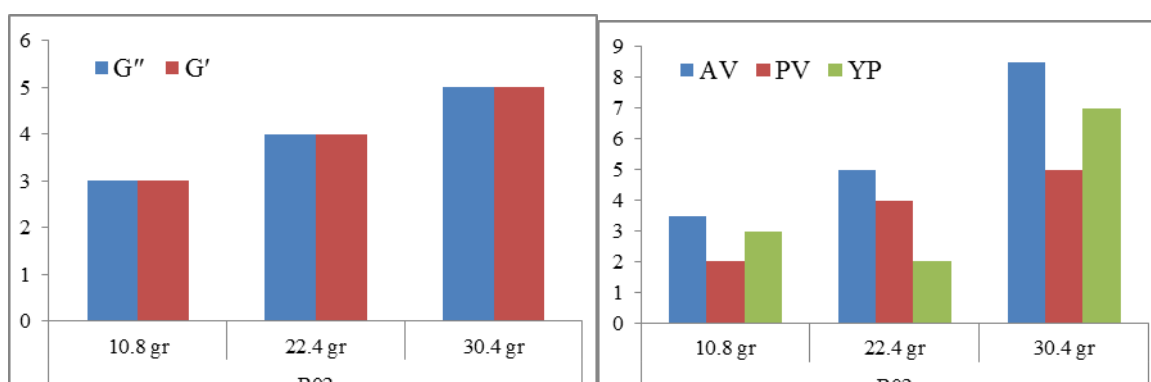
|           | نوع    | عنصر | O    | Na   | Mg   | Al   | Si   | Fe   | K    | Ca  | Ti  | Cl  |
|-----------|--------|------|------|------|------|------|------|------|------|-----|-----|-----|
| ۱B02-Spot | Na-Sme | W%   | ۴۸,۸ | ۲,۴۸ | ۲,۶۱ | ۱,۰۹ | ۳۲,۶ | ۱,۰۶ | ۰,۷۳ | ۰,۴ |     | ۰,۵ |
| ۲B02-Spot | Na-Sme | W%   | ۴۱,۹ | ۱,۵۵ | ۳,۹۷ | ۷,۳۹ | ۲۹,۳ | ۹,۶۲ | ۴,۴  |     | ۱,۹ |     |
| ۳B02-Spot | Na-Sme | W%   | ۵۵   | ۱,۴۹ | ۱,۱  | ۵,۲۷ | ۳۵,۲ | ۰,۷۶ | ۰,۵۴ | ۰,۴ |     | ۰,۲ |
| ۱B04-Spot | Na-Sme | W%   | ۴۷,۹ | ۱,۱۵ | ۱,۱۸ | ۱۰,۳ | ۳۴,۸ | ۲,۱۵ | ۲,۴۳ | ۰,۱ |     |     |
| ۲B04-Spot | Na-Sme | W%   | ۴۵,۷ | ۱,۸۶ | ۲,۰۱ | ۱۱,۳ | ۳۲,۶ | ۴,۵۲ | ۱,۷۸ | ۰,۳ |     |     |
| ۳B04-Spot | Na-Sme | W%   | ۴۴,۳ | ۰,۷۹ | ۱,۴  | ۱۱,۶ | ۳۸,۴ | ۱,۴۱ | ۱,۶۶ | ۰,۴ |     |     |
| ۱B07-Spot | Na-Sme | W%   | ۴۷,۴ | ۱,۰۷ | ۰,۹۹ | ۵,۶۴ | ۴۲,۴ | ۰,۸  | ۱,۲۳ | ۰,۵ |     |     |
| ۲B07-Spot | Na-Sme | W%   | ۴۵,۵ | ۲,۳۶ | ۱,۴۵ | ۶,۹۳ | ۳۱,۸ | ۰,۹۳ | ۱,۴۴ | ۰,۶ |     |     |
| ۳B07-Spot | Na-Sme | W%   | ۳۸,۶ | ۱,۰۶ | ۱,۳۳ | ۱۲,۲ | ۳۷,۶ | ۵,۲۴ | ۳,۶۳ | ۰,۳ |     |     |

فعال شده در جدول ۴ و شکل ۸ نشان داده شده است. برای نمونه B07، نتایج آزمون‌های رئولوژی نمونه‌های ساده در جدول ۳ و شکل ۵ و نمونه‌های فعال شده در جدول ۴ و شکل ۶ نشان داده شده است. برای نمونه B04، نتایج آزمون‌های رئولوژی نمونه‌های ساده در جدول ۳ و شکل ۷ و نمونه‌های ۱۰ و ۱۱ آورده شده است.

آزمون‌های رئولوژی نتایج آزمون‌های رئولوژی نمونه‌های ساده B02 در جدول ۳ و شکل ۵ و برای نمونه‌های فعال شده در جدول ۴ و شکل ۶ نتایج آزمون‌های رئولوژی نمونه‌های ساده در جدول ۳ و شکل ۷ و نمونه‌های ۱۰ و ۱۱ آورده شده است.

جدول ۳ نتایج آزمون‌های انجام شده بر بنتونیت‌های ساده.

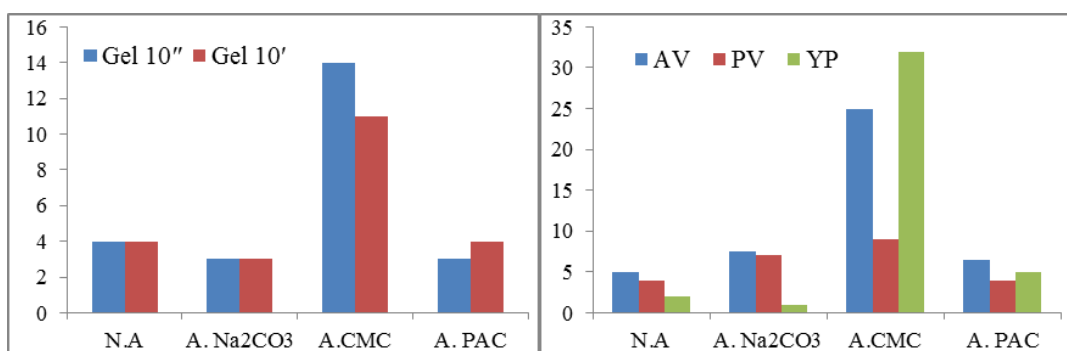
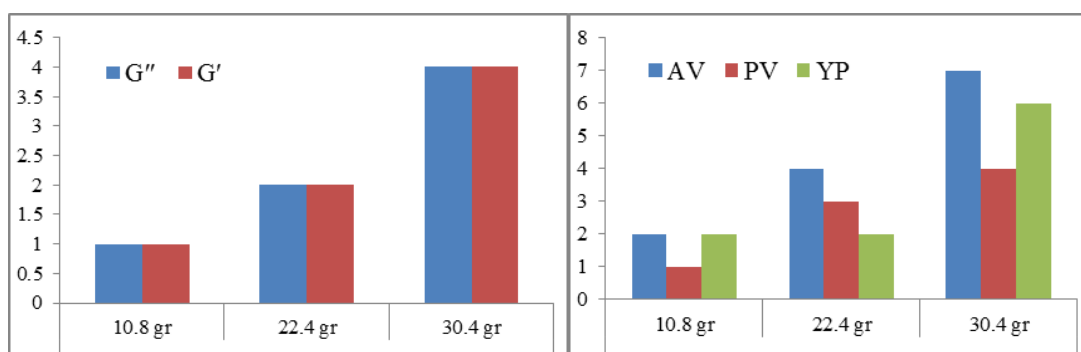
| نمونه                        | B02     |         |         | B04     |         |         | B07     |         |         |
|------------------------------|---------|---------|---------|---------|---------|---------|---------|---------|---------|
|                              | ۱۰.۸ gr | ۲۲.۴ gr | ۳۰.۴ gr | ۱۰.۸ gr | ۲۲.۴ gr | ۳۰.۴ gr | ۱۰.۸ gr | ۲۲.۴ gr | ۳۰.۴ gr |
| Θ600                         | ۷       | ۱۰      | ۱۷      | ۴       | ۸       | ۱۴      | ۴       | ۵       | ۸       |
| Θ300                         | ۵       | ۶       | ۱۲      | ۳       | ۵       | ۱۰      | ۳       | ۴       | ۵       |
| AV(cp)                       | ۲,۵     | ۵       | ۸,۵     | ۲       | ۴       | ۷       | ۲       | ۲,۵     | ۴       |
| PV(cp)                       | ۲       | ۴       | ۵       | ۱       | ۳       | ۴       | ۱       | ۱       | ۳       |
| YP (lb/100ft <sup>2</sup> )  | ۳       | ۲       | ۷       | ۲       | ۲       | ۶       | ۲       | ۱       | ۲       |
| G''                          | ۳       | ۴       | ۵       | ۱       | ۲       | ۴       | ۲       | ۲       | ۲       |
| G'                           | ۳       | ۴       | ۵       | ۱       | ۲       | ۴       | ۲       | ۲       | ۲       |
| وزن کل (ppg)                 | ۸,۵     | ۸,۴     | ۸,۹     | ۸,۴     | ۸,۶     | ۸,۸     | ۸,۵     | ۸,۶     | ۸,۹     |
| M.W (pcf)                    | ۱,۲     | ۱,۴     | ۱,۶     | ۱,۱     | ۱,۳     | ۱,۵     | ۱,۲     | ۱,۳     | ۱,۶     |
| S.P.G.R (g/cm <sup>3</sup> ) | ۶۳      | ۶۵      | ۶۷      | ۶۲      | ۶۴      | ۶۶      | ۶۳      | ۶۵      | ۶۷      |



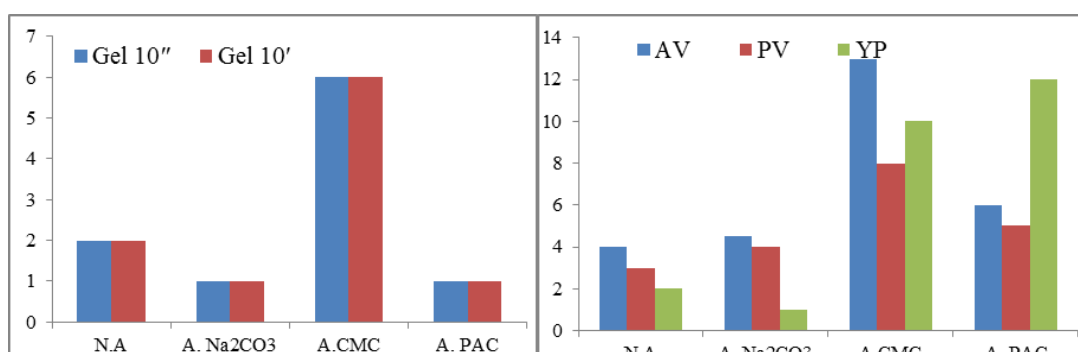
شکل ۵ (الف) ویژگی‌های سیال شناسی و (ب) مقاومت ژله‌ای بنتونیت‌های ساده (N.A) در نمونه B02

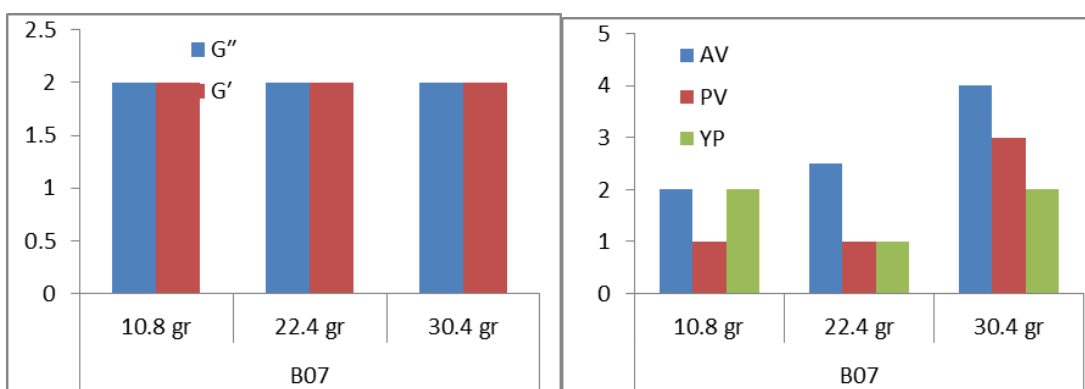
جدول ۴ نتایج آزمون‌های انجام شده بر بنتونیت‌های فعال شده.

| نمونه فعال شده با            | B02                             | B04 | B07 | B02 | B04 | B07 | B02 | B04 | B07 |
|------------------------------|---------------------------------|-----|-----|-----|-----|-----|-----|-----|-----|
|                              | Na <sub>2</sub> CO <sub>3</sub> |     |     | CMC |     |     | PAC |     |     |
| Θ600                         | ۱۵                              | ۹   | ۶   | ۵۰  | ۲۶  | ۱۲  | ۱۳  | ۱۲  | ۱۰  |
| Θ300                         | ۸                               | ۵   | ۳۵  | ۴۱  | ۱۸  | ۷   | ۹   | ۱۷  | ۶   |
| AV(cp)                       | ۷/۵                             | ۴/۵ | ۳   | ۲۵  | ۱۳  | ۶   | ۶/۵ | ۶   | ۵   |
| PV(cp)                       | ۷                               | ۴   | ۲/۵ | ۹   | ۸   | ۵   | ۴   | ۵   | ۴   |
| YP (lb,100ft <sup>2</sup> )  | ۱                               | ۱   | ۱   | ۳۲  | ۱۰  | ۲   | ۵   | ۱۲  | ۲   |
| G''                          | ۳                               | ۱   | ۲   | ۱۴  | ۶   | ۳   | ۱   | ۲   |     |
| G'                           | ۳                               | ۱   | ۲   | ۱۱  | ۶   | ۳   | ۴   | ۱   | ۲   |
| گل وزن کل (ppg)              | ۸/۴                             | ۸/۶ | ۸/۶ | ۸/۴ | ۸/۷ | ۸/۷ | ۸/۷ | ۸/۷ | ۸/۷ |
| M.W (pcf)                    | ۱/۴                             | ۱/۳ | ۱/۳ | ۱/۴ | ۱/۴ | ۱/۴ | ۱/۴ | ۱/۴ | ۱/۴ |
| S.P.G.R (g.cm <sup>3</sup> ) | ۶۵                              | ۶۴  | ۶۵  | ۶۵  | ۶۵  | ۶۵  | ۶۵  | ۶۵  | ۶۵  |

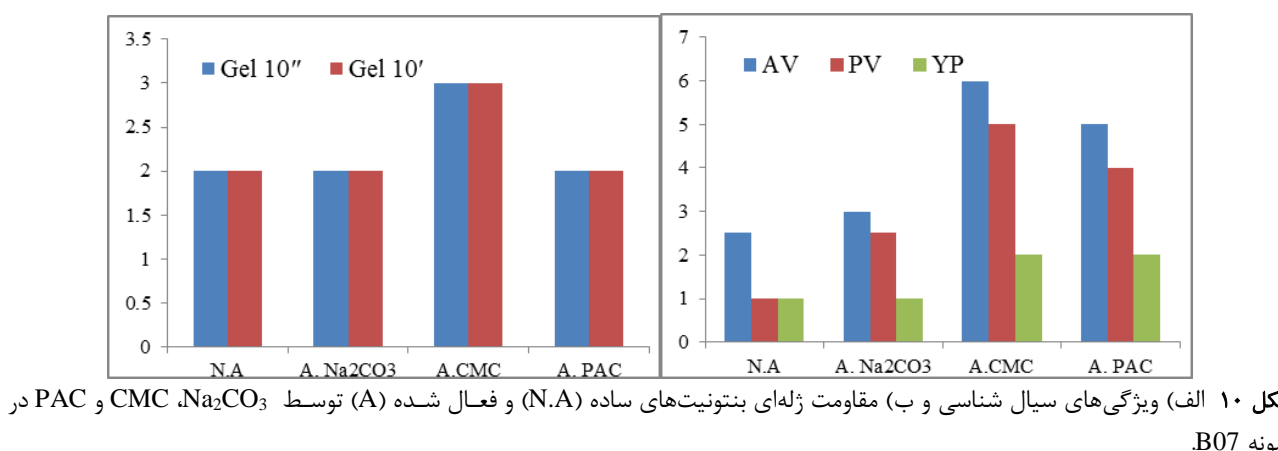
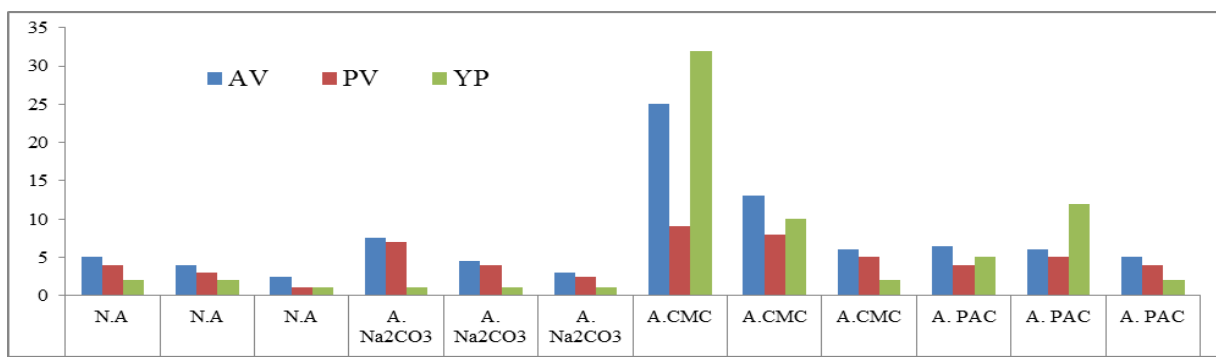
شکل ۶ (الف) ویژگی‌های رئولوژی و (ب) مقاومت ژله‌ای بنتونیت‌های ساده (N.A) و فعال شده (A) توسط CMC, Na<sub>2</sub>CO<sub>3</sub>, PAC در نمونه B02

شکل ۷ (الف) ویژگی‌های سیال شناسی و (ب) مقاومت ژله‌ای بنتونیت‌های ساده (N.A) در نمونه B04

شکل ۸ (الف) ویژگی‌های سیال شناسی و (ب) مقاومت ژله‌ای بنتونیت‌های ساده (N.A) و فعال شده (A) توسط CMC, Na<sub>2</sub>CO<sub>3</sub>, PAC در نمونه B04



شکل ۹ (الف) ویژگی‌های سیال شناسی و (ب) مقاومت ژله‌ای بنتونیت‌های ساده (N.A) در نمونه B07.

شکل ۱۰ (الف) ویژگی‌های سیال شناسی و (ب) مقاومت ژله‌ای بنتونیت‌های ساده (N.A) و فعال شده (A) (توسط Na<sub>2</sub>CO<sub>3</sub>, CMC و PAC در نمونه B07).شکل ۱۱ ویژگی‌های سیال شناسی بنتونیت‌های ساده (N.A) و فعال شده (A) (توسط Na<sub>2</sub>CO<sub>3</sub>, CMC و PAC).

خود هستند، به همین دلیل، مولکول‌های آب را بین لایه‌های خود جذب کرده و افزایش حجم می‌یابند [۳۰]. افزایش حجم ذرات بنتونیت معادل افزایش حجم ذرات جامد موجود در سیال است. از طرف دیگر، گرانروی ناکشسان یک سیال تابع گرانروی ناکشسان است. مایع آن سیال و نیز حجم مواد جامد موجود در آن است. بنابراین، افزایش مقدار بنتونیت موجب افزایش گرانروی ناکشسان سیال می‌شود [۳۱]. نتایج آزمون‌های رئولوژی در نمونه‌های B02، B04 و B07 نشان می‌دهد که گرانروی

نتایج آزمون‌های سیال شناسی، در هر سه نمونه بنتونیتی نشان می‌دهد که گرانروی ظاهری، گرانروی ناکشسان و نقطه تسلیم در نمونه‌های ساده با وزن‌های ۳۰/۴ گرم بیشتر از نمونه‌های با وزن‌های ۲۲/۴ و ۱۰/۸ گرم است. گرانروی ناکشسان و نقطه تسلیم با مقدار بنتونیت موجود در سوسپانسون، رابطه مستقیم دارد و با افزایش مقدار بنتونیت، گرانروی ناکشسان نیز افزایش می‌یابد. دلیل این امر، خاصیت جذب آب توسط ذرات بنتونیت است. در واقع، بنتونیت‌ها شامل بار منفی در سطح

استفاده کرد. پلیمر کربوکسی متیل سلولز در نمونه‌های فعال-شده موجب افزایش استحکام ژل در ۱۰ ثانیه و در ۱۰ دقیقه به ترتیب در نمونه‌های B02، B04 و B07 می‌شود. بهترین استحکام ژل در ۱۰ ثانیه و در ۱۰ دقیقه به ترتیب برابر با ۱۴ و ۱۱ مربوط به نمونه B02 است.

#### برداشت

معدن بنتونیت مومن آباد در واحدهای سنگی داسیت، ریولیت و آندزیت به صورت واحدهایی با دگرسانی شدید بخشی از پهنه بنتونیتی شرق ایران است. بنتونیت‌ها به رنگ سفید و سبز روشن تا تیره با ریختار لایه‌ای، رگه‌های پرلیتی، پرلیت توده‌ای و عدسی شکل با ظاهری خشک شده، انقباض یافته و شکسته شده و دگرسانی‌های پیشرفته‌ای از نوع کربناتی‌شدن و رسی دیده می‌شوند. بررسی‌های کانی‌شناسی، تصویربرداری الکترونی و نتایج طیفسنجی پراش انرژی پرتو ایکس نشان می‌دهد که کانی اصلی کریستوبالیت و اسماکتیت است و بنتونیت‌ها منطقه از نوع مونت‌موریلوبونیت‌های سدیمی هستند. حضور کریستوبالیت در فاز کانیایی اصلی و کانی‌هایی فرعی مانند زئولیت بر ویژگی‌های رئولوژی بنتونیت‌ها اثر منفی دارد. نمونه‌های B04 و B07 با ترکیب کانی‌شناسی کریستوبالیت در درجه اول و اسماکتیت در درجه دوم به عنوان فاز کانیایی اصلی ویژگی‌های رئولوژی همخوان با استاندارد API را نشان نمی‌دهند و نمونه B07 با توجه به حضور زئولیت به عنوان کانی فرعی، همخوانی بسیار کمتری را نشان می‌دهد. اما نمونه B02 با توجه به حضور کانی اسماکتیت به عنوان فاز کانیایی اصلی، ویژگی‌های رئولوژی بهتری را نسبت به دو نمونه دیگر نشان می‌دهد. نتایج آزمون‌های رئولوژی نشان می‌دهند که گرانروی ظاهری، گرانروی ناکشسان، نقطه تسلیم و استحکام ژله‌ای در نمونه‌های بنتونیتی ساده با وزن ۳۰٪ گرم بیشتر از نمونه‌های با وزن ۱۰٪ و ۲۲٪ گرم است. نمونه‌های با وزن ۱۰٪ و ۲۲٪ گرم مطابق با استاندارد API همخوانی ندارند و مناسب استفاده در صنعت حفاری نیستند. در وزن ۳۰٪ گرم، نمونه‌های B07 و B04 با استاندارد API همخوانی ندارند و نمی‌توانند در صنعت حفاری استفاده شوند و نمونه B02 با ویژگی‌های گرانروی ظاهری، گرانروی ناکشسان، نقطه تسلیم به ترتیب برابر ۸٪، ۵٪ و استحکام ژله‌ای در ۱۰ ثانیه و ۱۰ دقیقه برابر با ۵ ویژگی‌های رئولوژی بهتری را نشان می‌دهد و می‌توان در صنعت از آن استفاده کرد. ویژگی‌های رئولوژی و

ظاهری، گرانروی ناکشسان و نقطه تسلیم در نمونه ساده B07 با استاندارد API [۱۲] همخوانی ندارند و نمی‌توانند در صنعت حفاری استفاده شوند. اما نمونه‌های B04 و B02 فقط در وزن ۳۰٪ گرم مناسب استفاده در صنعت حفاری هستند از میان آنها، نمونه B02 ویژگی‌های رئولوژی بهتری را نشان می‌دهد و می‌توانند در صنعت استفاده شود. استحکام ژله‌ای نیز در هر سه نمونه بنتونیت ساده، نتایجی مانند گرانروی ظاهری، گرانروی ناکشسان و نقطه تسلیم نشان می‌دهد و در نمونه‌های با وزن ۳۰٪ گرم، بیشتر از نمونه‌های با وزن‌های ۲۲٪ و ۱۰٪ می‌باشد.

نتایج آزمون‌های رئولوژی به دست آمده برای نمونه‌های فعال شده با کربنات‌سدیم، پلیمرهای چندآنیونی سلولز و پلیمر کربوکسی متیل سلولز رفتاری متفاوت و پیچیده از خود نشان داده و بیان می‌کنند که ویژگی‌های گرانروی ظاهری، گرانروی ناکشسان و نقطه تسلیم در نمونه‌های فعال شده بهتر از نمونه B07 های ساده است. این نتایج برای نمونه‌های B02، B04 و B07 به شرح زیر هستند: ۱- نمونه B02، بهترین ویژگی‌های رئولوژی مربوط به استفاده از پلیمر کربوکسی متیل سلولز، در مرحله دوم کربنات‌سدیم و سپس از آن پلیمر چند آنیونی سلولز است. این نمونه با استفاده از هر سه افزودنی با در نظر گرفتن پلیمر کربوکسی متیل سلولز به عنوان بهترین افزایش دهنده ویژگی‌های گرانروی ظاهری، گرانروی ناکشسان و نقطه تسلیم، با استاندارد API [۱۲] همخوانی دارد و می‌توان در صنعت حفاری از آن استفاده کرد. ۲- برای نمونه B04، بهترین ویژگی‌های رئولوژی مربوط به استفاده از پلیمر کربوکسی متیل سلولز، در مرحله دوم پلیمر چند آنیونی سلولز و پس از آن کربنات‌سدیم است. این نمونه با استفاده از دو افزودنی پلیمر کربوکسی متیل سلولز و پلیمر چند آنیونی سلولز با در نظر گرفتن پلیمر کربوکسی متیل سلولز به عنوان بهترین افزایش دهنده ویژگی‌های گرانروی ظاهری، گرانروی ناکشسان و نقطه تسلیم، با استاندارد API [۱۲] همخوانی دارد و می‌توانند در صنعت حفاری به کار رود. ۳- برای نمونه B07، ویژگی‌های رئولوژی با استفاده از پلیمر کربوکسی متیل سلولز، در مرحله دوم پلیمر چند آنیونی سلولز و پس از آن کربنات‌سدیم نسبت به نمونه‌های سالم افزایش یافته‌است، اما ویژگی‌های گرانروی ظاهری، گرانروی ناکشسان و نقطه تسلیم با استاندارد API [۱۲] همخوانی ندارد و نمی‌توان در صنعت حفاری از آن

Ba, sören, Kütahya, W. Anatolia, Turkey", Clay Minerals 42 (2007) 399-414.

[8] Kumar, A.S., Mahto, V., Sharma, V.P., "Behavior of Organic Polymer on the Rheological Properties of Indian Bentonite-Water Based Drilling Fluid System and its Effect on Formation Damage", Indian Journal of Chemical Technology 10 (2003) 525-530.

[9] Kelessidis, V.C., C. Tsamantaki, and P. Dalamarinis, "Effect of pH and electrolyte on the rheology of aqueous Wyoming bentonite dispersions", Applied Clay Science 38 (2007) 86-96.

[10] Agha, M.A., Ferrell, R.E., Hart, G.F., Abu El Ghar, M.S., Abdel-Motelib, A., "Physical properties and Na-activation of Egyptian bentonitic clays for appraisal of industrial applications", Applied Clay Science 131(2016) 74-83.

[11] Temraz, M.G., Hassanien, I., "Mineralogy and rheological properties of some Egyptian bentonite for drilling fluids", Journal of Natural Gas Science and Engineering 31 (2016) 791-799.

[12] API, (American Petroleum Institute), "Specification for Oil-Well Drilling Fluid Materials API Spec, 13A (Dallas TX)", (1983).

[13] Olatunde, A. O., Usman, M. A., Olafadehan1, O. A., Adeosun, T. A., Ufot, O.E., "Improvement of rheological properties of drilling fluid using locally based materials", Petroleum and Coal 54 (2012) 65-75.

[14] Hassiba, K.J., Amani, M., "The Effect of Salinity on the Rheological Properties of Water Based Mud under High Pressure and High Temperature for Drilling Offshore and Deep Wells", Earth Science Research 2 (2012) 175.

[15] Namayandeh, A.R., Modabberi, S., Ranjbaran, M., "Mineralogy and geochemistry of Chah-Golestan bentonite mine, Sarayan, Iran", Adv. Appl. Geol. J 5 (2012) 69-79, (in Persian).

[16] Namayandeh, A.R., Modabberi, S., Ranjbaran, M., "Mineralogical and geochemical studies to determine genesis of Khalkuh bentonite mine, Ferdows, Southern Khorasan", Petrology 21 (2015) 19-34, (in Persian).

[17] Modabberi, S., Namayandeh, A., López-Galindo, A., Viseras, C., Setti, M., & Ranjbaran, M., "Characterization of Iranian bentonites to be used as pharmaceutical materials", Applied Clay Science 116 (2015) 193-201.

استحکام ژله‌ای در نمونه‌های فعال شده بهتر از نمونه‌های ساده است و سیال‌های شامل پلیمر کربوکسی متیل سلولز به علت ویژگی یونی بالای ذرات نسبت به سایر پلیمرها بهترین افزایش دهنده ویژگی‌های رئولوژی در بنتونیت‌های منطقه هستند. نمونه‌های B02 و B04 با هر سه افزودنی و در نظر گرفتن پلیمر کربوکسی متیل سلولز به عنوان بهترین افزایش دهنده، دارای ویژگی‌های رئولوژی همخوان با استاندارد API بوده و قابل استفاده در صنعت حفاری هستند. نمونه B02 با پلیمر کربوکسی متیل سلولز و ویژگی‌های گرانزوی ظاهری، گرانزوی ناکشسان، نقطه تسلیم به ترتیب برابر ۳۲، ۹، ۲۵ و استحکام ژله‌ای در ۱۰ ثانیه و ۱۰ دقیقه به ترتیب برابر ۱۴ و ۱۱ بهترین بنتونیت برای کاربرد حفاری است. در مقابل نمونه B07 با استفاده از همه افزودنی‌ها، با استاندارد API همخوانی ندارد و نمی‌توان در صنعت حفاری از آن استفاده کرد.

#### مراجع

- [1] Murry H., "Applied Clay Mineralogy: Occurrences, Processing, and Application of Kaolins, Bentonites, Palygorskite-Sepiolite, and Common Clays", Elsevier's Science & Technology Right Department in Oxford, UK 2007.
- [2] Takagi, T., Koh, S. M., Song, M. S., Itoh, M., Mogi, K., "Geology and properties of the Kawasaki and Dobuyama bentonite deposits of Zao region in northeastern Japan", Clay Minerals 40 (2005) 333±350.
- [3] Hosterman J.W., and Patterson S.H., "Bentonite and fuller's earth resources of the United States", US Geological Survey Professional Paper 1522 (1992) 45 pp.
- [4] Christidis, G. E., Scott, P. W., Marcopoulos, T., "Origin of the bentonite deposits of Eastern Milos, Aegean, Greece: geological, mineralogical and geochemical evidence", Clays and Clay Minerals 43 (1995) 63-77.
- [5] Yalçın, H., and Gümüşer, G., "Mineralogical and geochemical characteristics of Late Cretaceous bentonite deposits of the Kelkit Valley Region, Northern Turkey", Clay Minerals 35 (2000) 807-825.
- [6] Yıldız, A., and Kuscu, M., "Origin of the Basoren (Kutahya, W Turkey) bentonite deposits", Clay Minerals 39 (2004) 219-231.
- [7] Yıldız, A., Kuscu, M., "Mineralogy, chemistry and physical properties of bentonites from

- [24] Hejazi, M., Ghorbani, M., " *Bentonites-Zeolite* ". Geological Survey of Iran 1994, 128 pp (in Persian).
- [25] Stocklin, J., "Structural history and tectonics of Iran: a review", AAPG Bulletin 52 (1968) 1229-1258.
- [26] Camp, V., & Griffis, R., "Character, genesis and tectonic setting of igneous rocks in the Sistan suture zone, eastern Iran", Lithos 15 (1982) 221-239.
- [27] Tirrul, R., Bell, I., Griffis, R., & Camp, V., "The Sistan suture zone of eastern Iran", Geological Society of America Bulletin 94 (1983) 134-150.
- [28] Pang, K.N., Chung, S.L., Zarrinkoub, M. H., Mohammadi, S. S., Yang, H.M., Chu, C.H., Lee, H.Y., Lo, C.H., "Age, geochemical characteristics and petrogenesis of Late Cenozoic intraplate alkali basalts in the Lut-Sistan region, eastern Iran", Chemical Geology 306 (2012) 40-53.
- [29] Pang, K.N., Chung, S.L., Zarrinkoub, M. H., Khatib, M. M., Mohammadi, S. S., Chiu, H.Y., Chu, C.H., Lee, H. Y., Lo, C.H., "Eocene-Oligocene post-collisional magmatism in the Lut-Sistan region, eastern Iran: magma genesis and tectonic implications", Lithos 180 (2013) 234-251.
- [30] Khodja. M., Khodja-Saber. M., Canselier. J.P., Cohaut. N and Bergaya. F., "Drilling Fluid Technology: Performances and Environmental Considerations", Applied Clay Science 52 (2010) 245-253.
- [31] Rasouli Manesh, R., Sakebi, A., Hosseini, M.A., Mollaeei, F., Nasiri, A. "study of the influence of bentonite on the efficiency of polyanionic cellulose polymer and potato starch in water-based drilling fluid", Oil and Gas Exploration and Exploration 119 (2014), (in Persian).
- [18] Modabberi, S., Namayandeh, A., López-Galindo, A., & Setti, M., "Genesis of the Eastern Iranian bentonite deposits", Applied Clay Science, 168 (2018) 56-67.
- [19] Tarabi, S., Emami, M.H., Modabberi. S., "Study of diagenetic and hydrothermal alteration in stratigraphy section of Momen-abad (North-East of Sarbisheh, Birjand) and its role of them in non-metallic mineralization", 4th YES Congress (2017).
- [20] Tarabi, S., Modabberi. S. Emami, M.H., "The Study of Diagenetic and Hydrothermal Alteration in the Volcanic Sequence of Momen-abad (North-East of Sarbisheh, Birjand) and Their Roles in Non-metallic Mineralization", (in press) (2019), (in Persian).
- [21] Tarabi, S., "The Study of Petrology, Geochemistry and Alteration of Momen Abad Area (North-East of Sarbisheh) with Reference to the Formation of Bentonite Deposits and their Industrial Application", Unpublished P.hD. thesis. Department of Geology, Science and Research Branch, Islamic Azad University, Tehran, Iran (2018), (in Persian).
- [22] Tarabi, S., Modabberi. S. , Forouzesh, V., "Study of Bentonite mines Ferdows - Sarbishe zone (Birjand) in order to apply in pelletizing", 35<sup>th</sup> National Geosciences Congress which was held in the Geological Survey of Iran. 1-3 February (2016).
- [23] Karimpour, M. h., Rashed, A. A., Erteza, H., "Mineralogical Composition, Geochemistry and Application of Deh Mohamad, Chah Kem 1, Chah Kem 2 and Shir Gasht (Khorasan and Yazd)", Iranian Journal of Crystallography and Mineralogy 82, 15-27.